



放射光X線を用いた タンパク質の実時間結晶構造解析

東京工業大学大学院 理工学研究科
富田 文菜

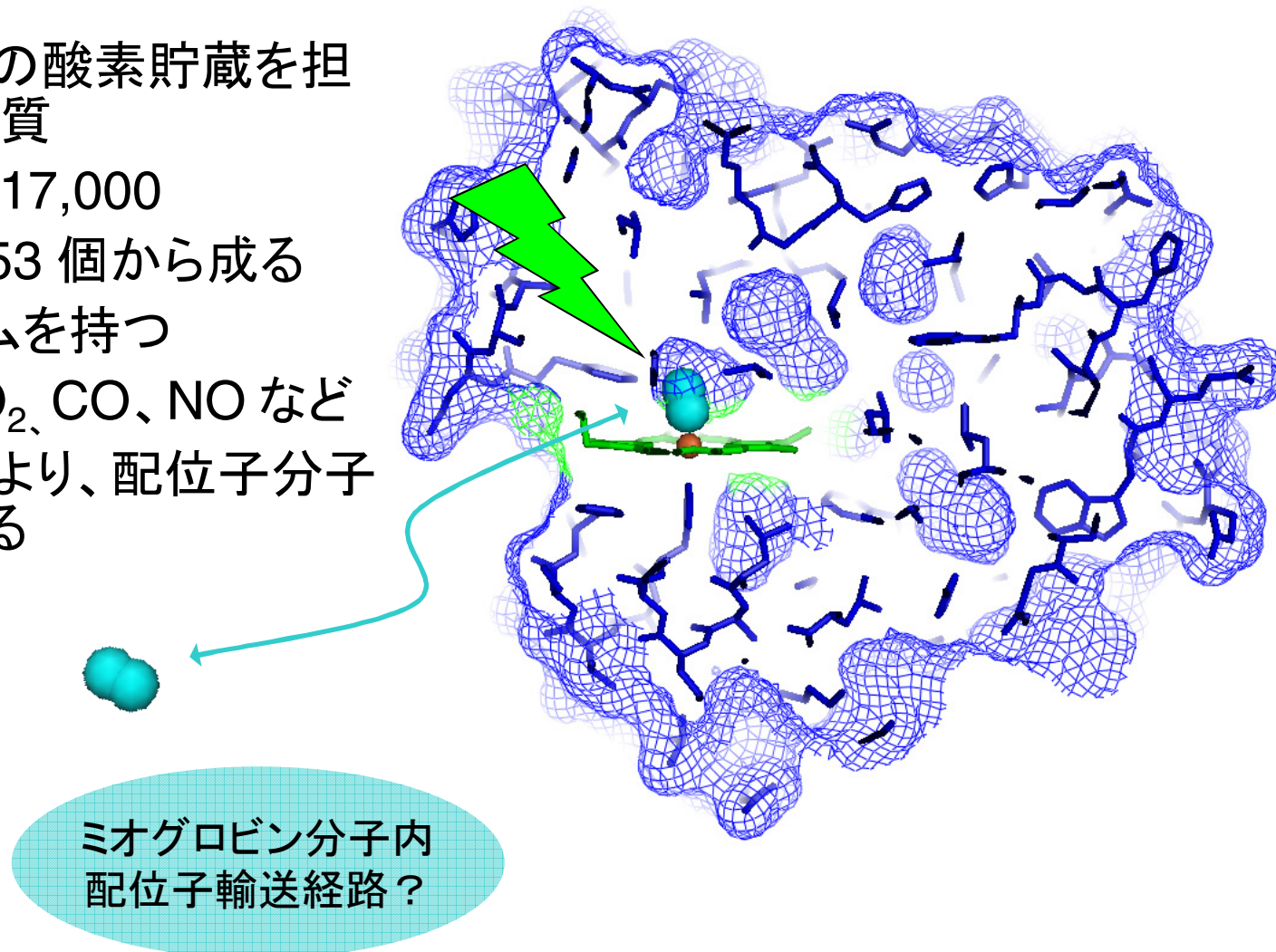


PF研究会(2010.07.12-13)



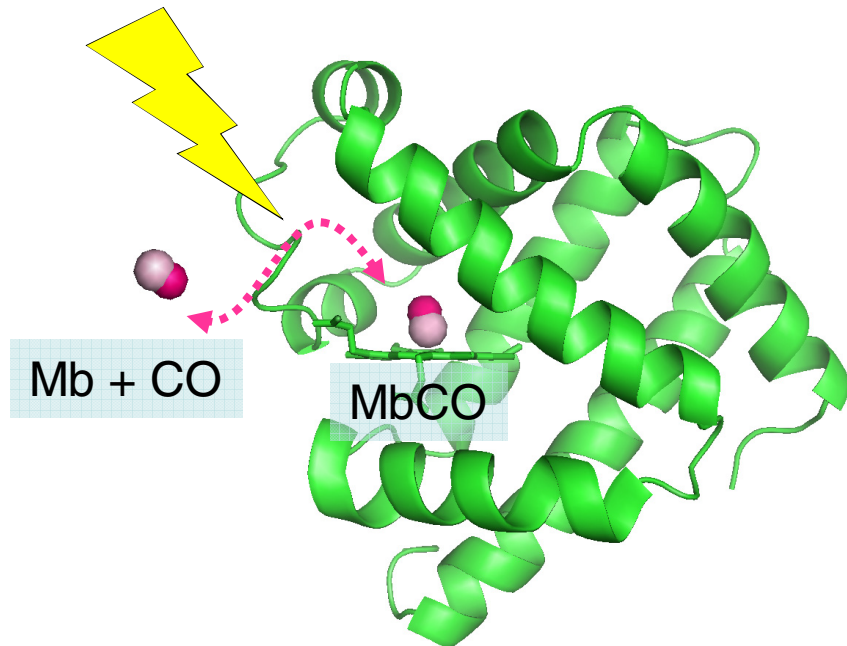
酸素貯蔵タンパク質・ミオグロビン

- 筋肉中での酸素貯蔵を担うタンパク質
- 分子量 ~ 17,000
- アミノ酸153 個から成る
- 1つのヘムを持つ
- 配位子: O_2 、CO、NO など
- 光照射により、配位子分子を放出する

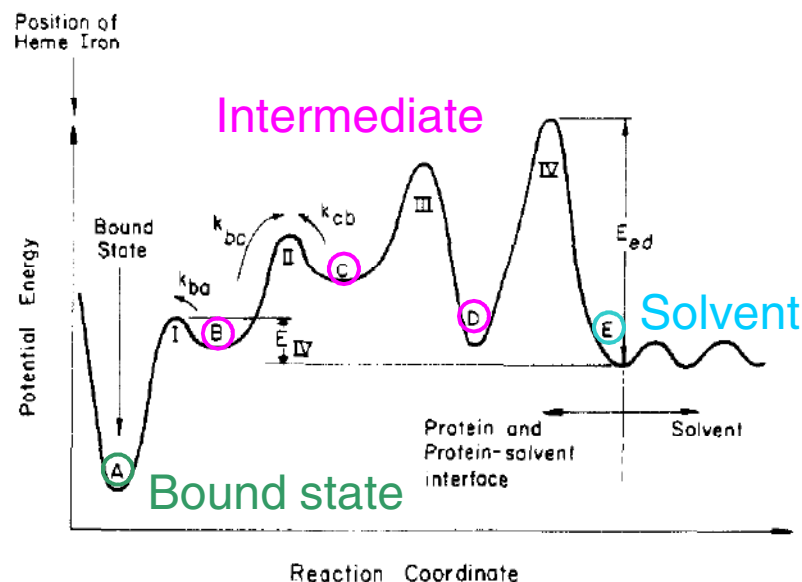


CO光解離中間狀態

MbCO 光解離・再結合



Energy diagram of migration dynamics



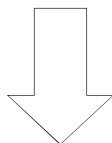
R. H. Austin *et al.*, *Biochemistry*, 14 (1975) 5355.



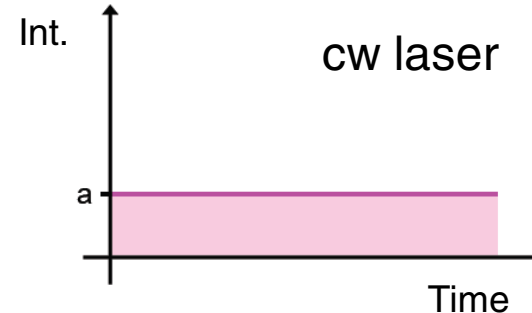
Novel illumination method

低温条件下での光照射実験

主に連続光源が用いられている



$$a: 4.6 \text{ mW/mm}^2$$



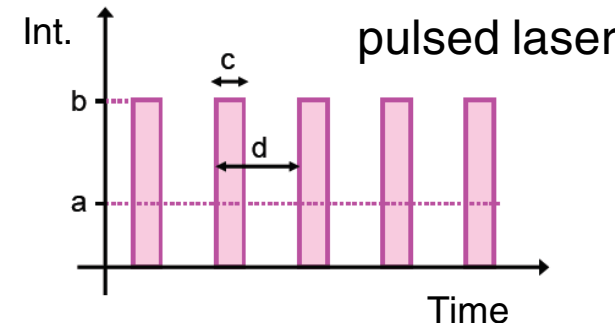
低温条件下でのパルスレーザー照射

$$a: 4.6 \text{ mW/mm}^2$$

$$b: 153.3 \text{ W/mm}^2$$

$$c: 2 \text{ ns}$$

$$d: 66 \mu\text{s}$$



高い尖頭値 (b)

→ 励起密度が高く、光解離が進みやすい。

短い照射時間(c)

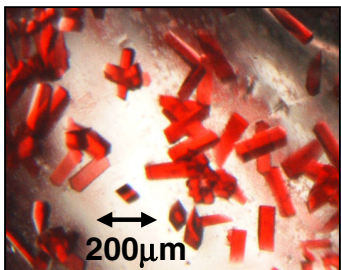
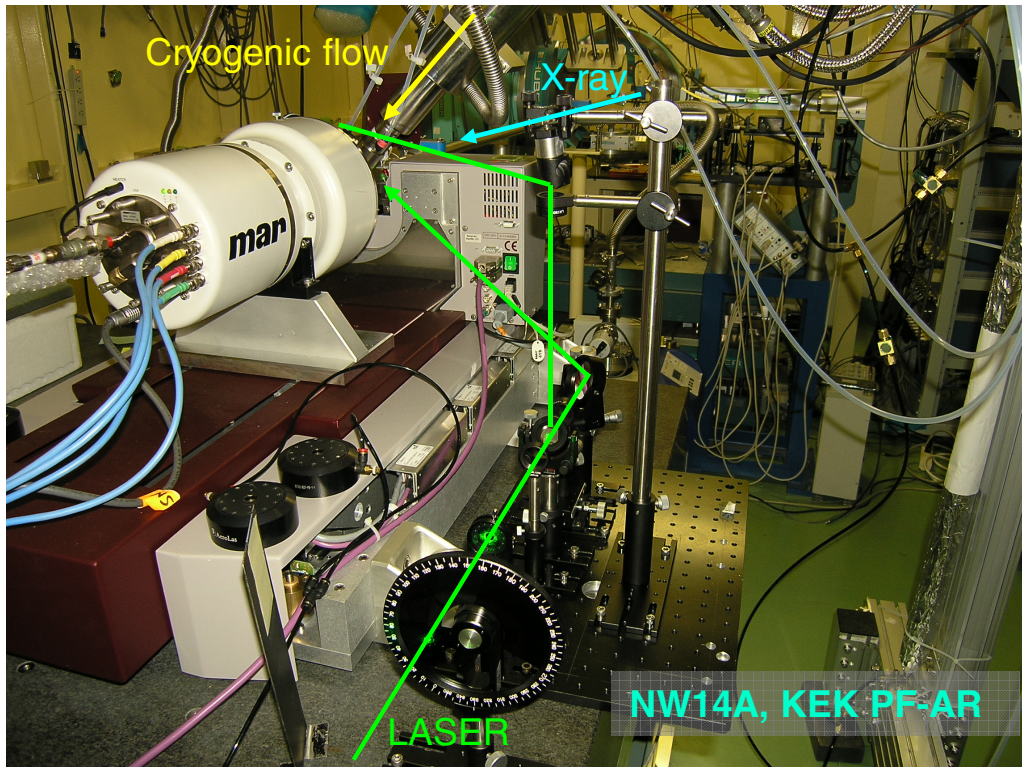
→ 試料の平均温度は低く保たれ、励起状態をホールド可能。

低温での測定

→ 比較的高分解能の測定が可能。

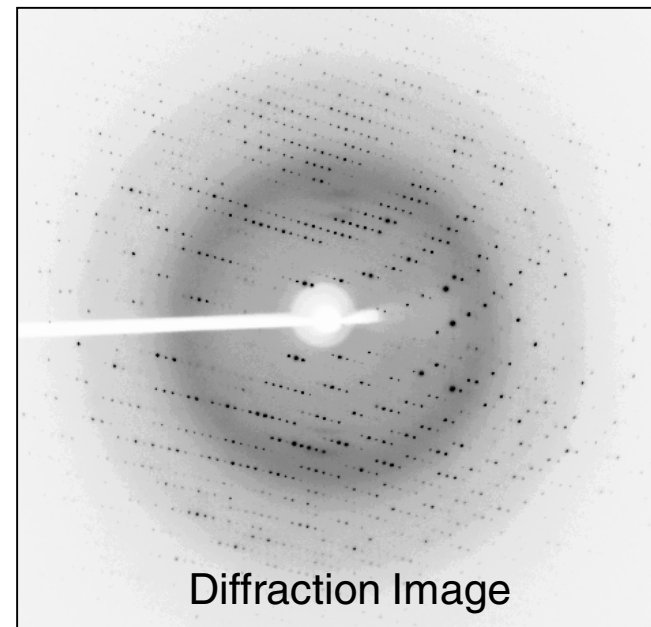


Experimental Set Up



Native sperm whale MbCO
single crystal

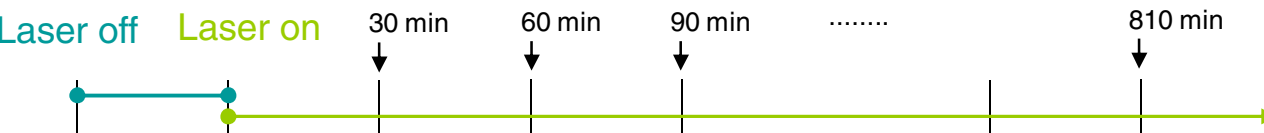
Sample size: 200*400*20 μm^3
X-ray: 0.827 Å (15 keV)
Laser: YAG SHG (532 nm)
15 kHz, 4.6 mW/mm²
Detector: marccd165
Cryogenic equipment : N₂ flow
Temperature: 100~140 K



Diffraction Image



120 Kでの測定結果



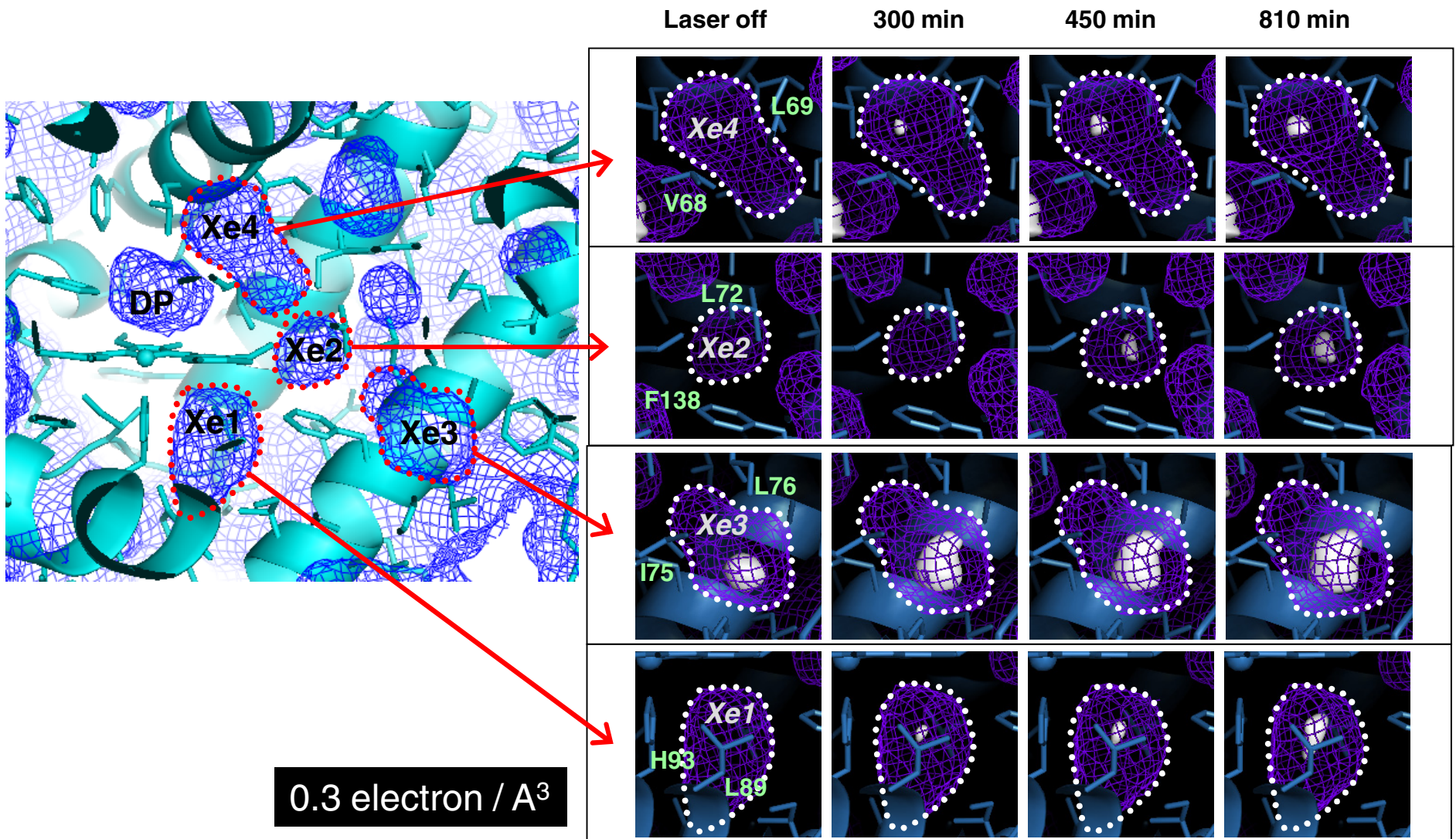
Statistic	Laser off	810 min	
Space group	P 1 2 ₁ 1	P 1 2 ₁ 1	R_{merge} : ~5 %
Cell dimensions a, Å	34.536	34.462	分解能: 1.2 Å
b, Å	30.847	30.714	
c, Å	63.897	63.932	
β , °	105.647	105.617	R_{factor} : ~15 %
Wavelength, Å	0.827	0.827	結合長標準偏差: 0.02 Å
Resolution, Å	50.0–1.22	50.0–1.21	
R_{merge}	0.039(0.469)	0.054(0.421)	
I/σ	9.5(1.1)	...	
Completeness	0.835(0.377)	0.952(0.586)	
Redundancy	3.2(2.0)	3.5(2.0)	
No. reflections	33,220	37,777	
R factor	0.153	0.146	
R_{free}	0.207	0.191	
No. atoms	1,438	1,429	
Mean B value	15.257	15.139	
rmsd bond length, Å	0.027	0.022	
rmsd angle, °	2.179	2.015	

Laser off
 30 min
 150 min
 300 min
 450 min
 600 min
 750 min
 810 min

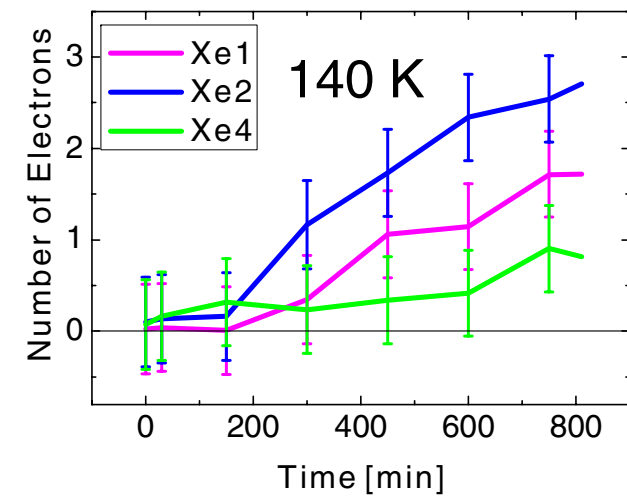
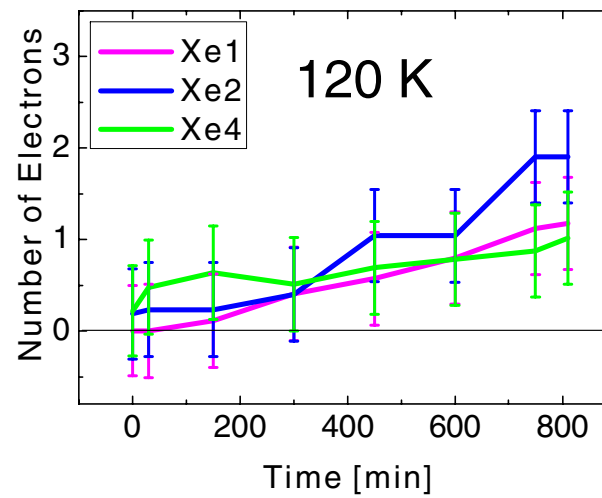
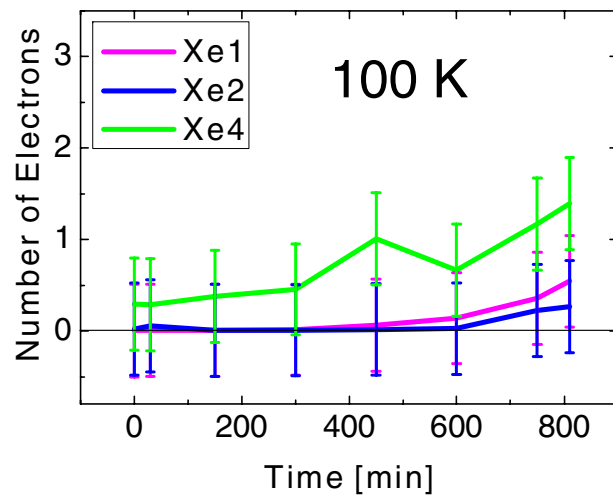
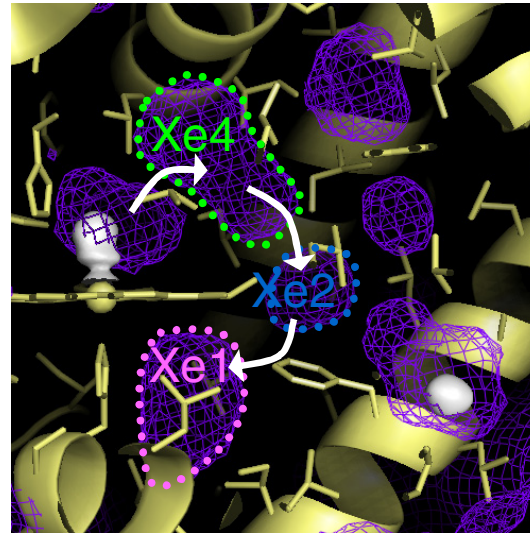
Values in parentheses are for the highest resolution shell (1.25–1.21 Å).



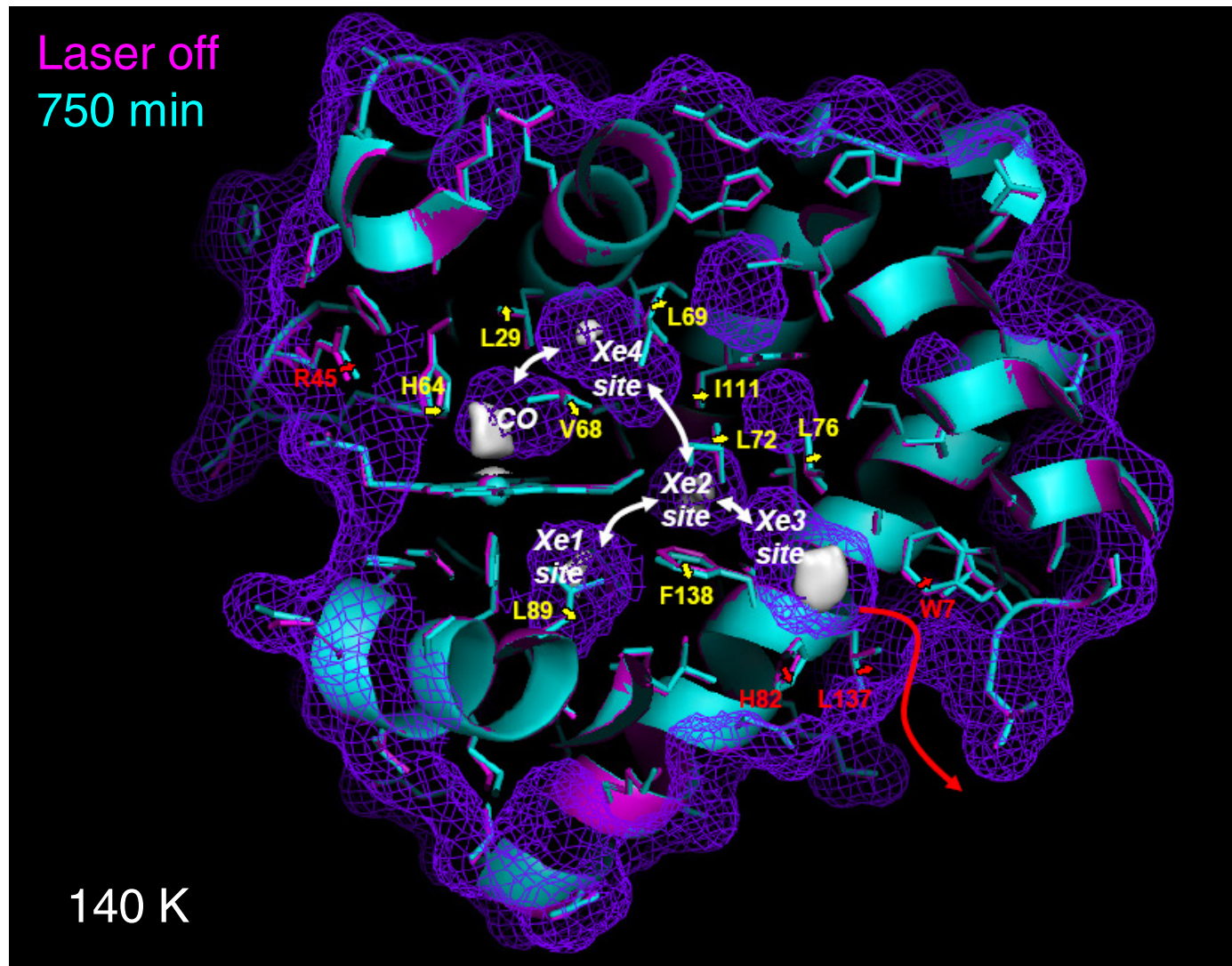
CO migration at 120 K



Time course of Number of Electron in the Cavities



Migration pathway of Mb

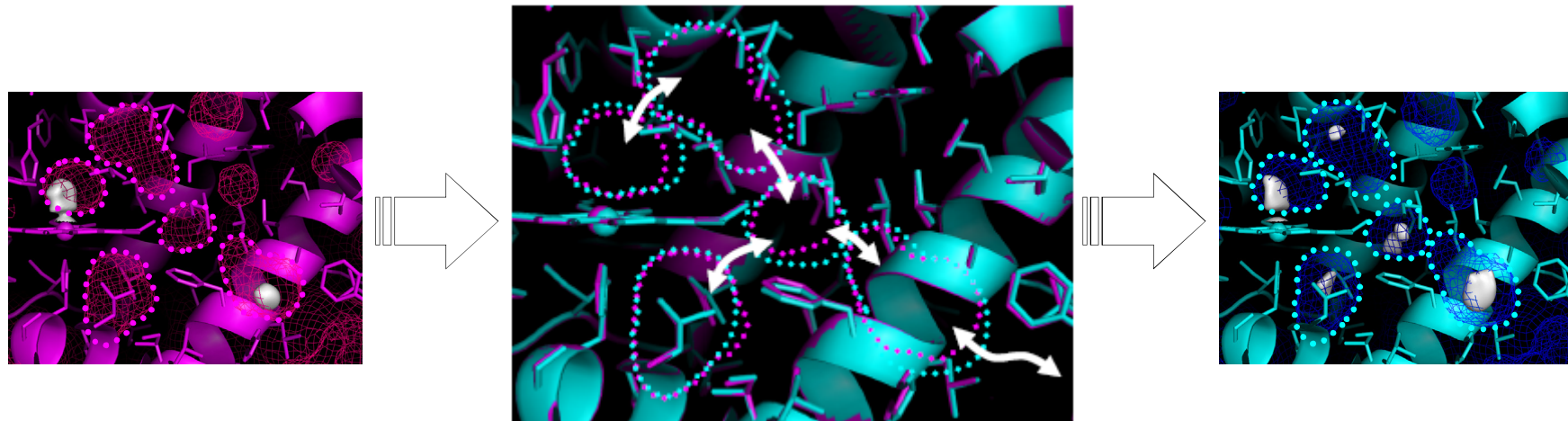


A. Tomita *et al.*, PNAS 106 (2009) 2612.



まとめ

- + 光解離CO輸送過程の直接観測に成功
- + CO輸送に伴う分子内空洞の変形を観測



- + 実験から得られた原子座標を用いて、
分子動力学(MD)計算を試みている。
- + 他の機能タンパク質への適用
—Hemoglobin, 光合成反応中心 等



今後の展望

+ 不可逆反応のダイナミクス測定

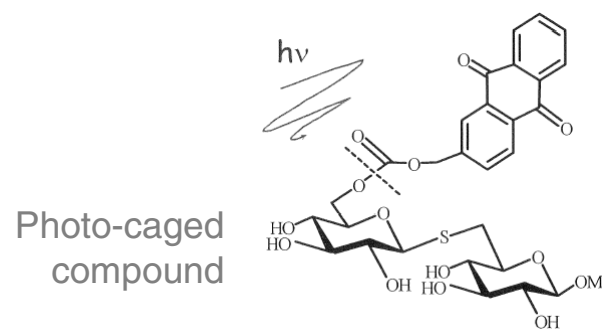
検出器の種類	Read out time:	Dataset 測定所要時間	ターゲットのダイナミクス
CCD: データ積分型	2.5 s	~20 min	数時間オーダー
Pilatus (Dectris): データフロー型	2.7 ms	~1 min ?	数分～数十分オーダー

+ 結晶中での反応の開始 (光反応以外もターゲットに)

- ・抗凍結剤に基質を導入
- ・Caged 化合物の複合体

+ 反応速度の制御

- ・温度制御
- ・Mutation による活性の抑制



Acknowledgment



高エネルギー加速器研究機構
佐藤 篤志、一柳 光平、野澤 俊介、足立 伸一



横浜市立大学
河合 文啓、野口 大貴、雲財 悟、朴 三用



名古屋大学
都築 峰幸、倭 剛久



東京工業大学
星野 学、腰原 伸也 (敬称略)

関連論文等

- [1] A. Tomita *et al.*, “Tracking ligand-migration pathways of carbonmonoxy myoglobin in crystals at cryogenic temperatures”, *Acta Cryst. A66*, 220-228 (2010).
- [2] 富田文菜 他、「タンパク質分子内にある疎水性キャビティの『深呼吸』を観る～ 時間分解X線構造解析法によるタンパク質のダイナミクス研究 ～」、蛋白質 核酸 酶素、9月号、2009年
- [3] A. Tomita *et al.*, “Visualizing Breathing Motion of Internal Cavities in Concert with Ligand Migration in Myoglobin”, *Proc. Nat. Acad. Sci. USA 106*, 2612-2616 (2009).

